

“Decenio de la Igualdad de Oportunidades para mujeres y hombres”
“Año del Bicentenario, de la consolidación de nuestra Independencia, y
de la conmemoración de las heroicas batallas de Junín y Ayacucho”

INFORME SOBRE EL PRONÓSTICO DE EFECTOS DE ENOS SOBRE LAS CONDICIONES OCEANOGRÁFICAS FRENTE A LA COSTA PERUANA EN BASE A FORZANTES DEL PACÍFICO ECUATORIAL Y SUDESTE

Enero 2024

Carlos Quispe, Jorge Tam, Cinthia Arellano, Adolfo Chamorro, Dante Espinoza,
Carlos Yván Romero y Jorge Ramos

LABORATORIO DE MODELADO OCEANOGRÁFICO, ECOSISTEMICO Y DEL
CAMBIO CLIMÁTICO (LMOECC)

1. Resumen

Durante este último trimestre Noviembre-Diciembre-Enero (NDE) 2023-24, las condiciones térmicas del ecosistema de afloramiento peruano se han mantenido con condiciones cálidas, por efecto del episodio El Niño 2023-24, con tendencia a la normalización. El índice de área de afloramiento se ha mantenido alrededor de su rango medio, y un alto índice de clorofila superficial. Por otro lado, el índice del Anticiclón del Pacífico Sur se ha mantenido intenso.

Se espera que las condiciones cálidas continúen durante el mes de febrero, pero transicionen hacia condiciones neutras entre los meses de marzo y abril, debido a posibles llegadas a Sudamérica de ondas Kelvin frías, a la persistente intensificación de las condiciones del Anticiclón del Pacífico Sur y al debilitamiento del episodio El Niño 2023-24.

2. Indicadores oceanográficos y atmosféricos del Pacífico Sudeste.

Índice del APS (IAPS)

Se usó el Índice del APS (IAPS) para caracterizar la intensidad del Anticiclón del Pacífico Sur (APS), el cual se calculó mediante la media móvil trimestral de la anomalía de la presión atmosférica (hPa) mensual máxima en el núcleo del APS con datos de la base de datos Reanálisis NCEP/NOAA (Kalnay et al. 1996). El IAPS fue clasificado en 3 condiciones: débil, neutro e intenso (Fig. 1a). Durante el trimestre NDE 2023-24 el IAPS (+2.5) se mantuvo en una condición intensa.



Firmado digitalmente por:
PIZARRO PEREYRA Luis
Lorenzo FAU 20148138888 hard
Motivo: Soy el autor del
documento
Fecha: 23/02/2024 15:02:23-0500

Dra. Michelle Graco
DGIOCC (e)



Esquina Gamarra y General Valle s/n, Chucuito, Callao | Central telefónica: (051) 208 8650 | www.gob.pe/imarpe

Esta es una copia auténtica imprimible de un documento electrónico archivado en el Instituto del Mar del Perú, aplicando lo dispuesto por el Art. 25 de D.S. 070-2013-PCM y la Tercera Disposición Complementaria Final del D.S. 026-2016-PCM. Su autenticidad e integridad pueden ser contrastadas a través de la siguiente dirección web: www.imarpe.gob.pe/imarpe/validacion Clave:

“Decenio de la Igualdad de Oportunidades para mujeres y hombres”
“Año del Bicentenario, de la consolidación de nuestra Independencia, y
de la conmemoración de las heroicas batallas de Junín y Ayacucho”

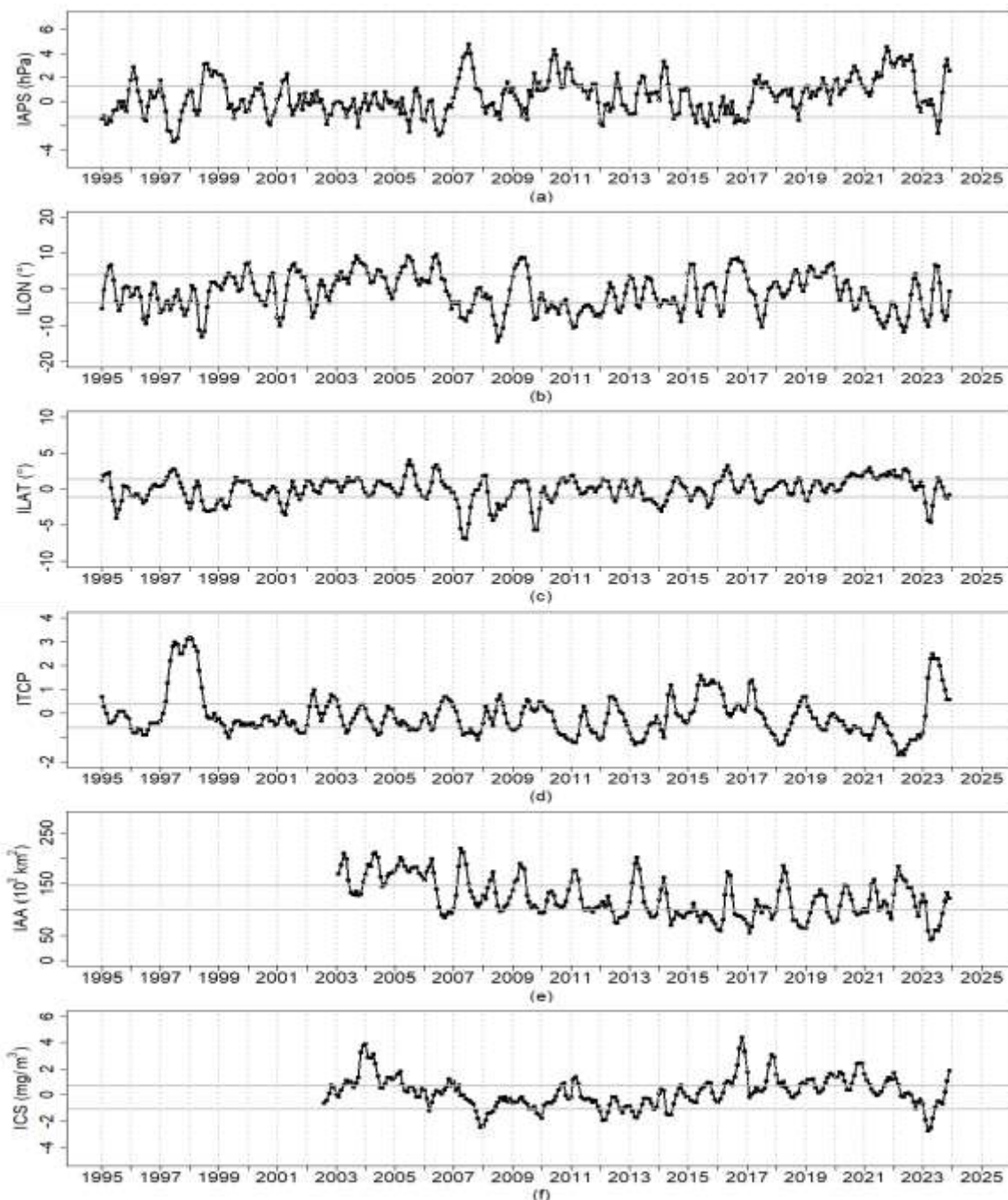


Figura 1. Variación interanual con datos actualizados hasta el mes de enero del 2024 de: (a) Índice del APS (IAPS), (b) Índice de desplazamiento longitudinal del APS (ILON), (c) Índice de desplazamiento latitudinal del APS (ILAT), (d) Índice Térmico Costero Peruano (ITCP), (e) Índice del área de afloramiento (IAA) y (f) Índice de Clorofila a Superficial (ICS).



“Decenio de la Igualdad de Oportunidades para mujeres y hombres”
“Año del Bicentenario, de la consolidación de nuestra Independencia, y
de la conmemoración de las heroicas batallas de Junín y Ayacucho”

Índices de la posición del APS (ILON e ILAT)

Se usaron los índices de posición longitudinal (ILON) y latitudinal (ILAT) del APS para caracterizar la posición del núcleo del APS, los cuales se calcularon mediante la media móvil trimestral de las anomalías de la posición longitudinal y latitudinal de la presión atmosférica mensual máxima en el núcleo del APS con datos del Reanálisis NCEP/NOAA (Kalnay et al. 1996). Valores positivos (negativos) de los índices ILON (°) e ILAT (°) representan un desplazamiento al este y al norte (al oeste y al sur) del núcleo del APS, respectivamente. Durante el trimestre NDE 2023-24 los índices ILON e ILAT presentaron valores de -0.44 y -0.7 respectivamente, indicando que el núcleo del APS, en promedio, se ha ubicado alrededor su posición habitual (Fig. 1c y 1b).

Índice Térmico Costero Peruano (ITCP)

Se usó el Índice Térmico Costero Peruano (ITCP) (Quispe-CCalluari, et al. 2018) para caracterizar la variabilidad interanual oceánica frente a la costa peruana, el cual se calculó mediante la media móvil trimestral de la primera componente principal de las Anomalías de Temperatura Superficial del Mar (ATSM) de las aguas costeras a partir de la base de datos de Reynolds (2007), que explicó el 87.7 % de la varianza. El ITCP fue clasificado en 3 condiciones: frío, neutro y cálido (Fig.1d). El ITCP tiene que persistir al menos 3 trimestres consecutivos por arriba (abajo) del umbral para ser categorizado como un Periodo Cálido (Frío).

Durante el trimestre NDE 2023-24, el valor del ITCP (+0.6), en promedio, se mantuvo dentro del rango de las condiciones cálidas. En los últimos 10 trimestres consecutivos (entre FMA 2023 y NDE 2023-24) mantuvo valores positivos por encima del umbral, lo cual indica la continuación de la ocurrencia de un Periodo Cálido en el Ecosistema de Afloramiento Peruano. Por otro lado, el valor del Índice Oceánico de El Niño (ONI) fue +2°C en el trimestre NDE 2023-24, por octavo trimestre consecutivo, lo cual según criterio de la NOAA indica la ocurrencia de un episodio El Niño (NOAA, 2003, 2023) en el Pacífico ecuatorial.

Índice del área de afloramiento (IAA)

Se calculó el Índice del Área de Afloramiento (IAA) para caracterizar el área costera limitada por el frente térmico (en 10^3 km^2) entre los 05°S y 14°S en la franja de 300 km frente al litoral, y puede ser empleado como un indicador del avance o repliegue de las aguas del afloramiento costero. Este indicador ha sido desarrollado en base al frente térmico (Romero et al. 2014) construido a partir de datos de TSM satelital de nivel 4 (Multiscale UltraHigh Resolution MUR, JPL-NASA) a 1 km de resolución. El IAA fue clasificado en 3 condiciones: baja, media y alta. Durante el trimestre NDE 2023-24, el IAA presentó un valor asociado a la condición media (121.9 km^2) lo que indicaría que la cobertura espacial de las aguas de afloramiento costero en promedio se ha mantenido en la misma condición media durante los últimos tres trimestres (Fig. 1e).

“Decenio de la Igualdad de Oportunidades para mujeres y hombres”
“Año del Bicentenario, de la consolidación de nuestra Independencia, y
de la conmemoración de las heroicas batallas de Junín y Ayacucho”

Índice de Clorofila a Superficial (ICS)

Para el análisis de la clorofila-a superficial se utilizó información proveniente del satélite SeaWiFS (1997-2010) y del satélite MODIS corregido siguiendo la metodología de Demarcq y Benazzouz (2015) con una resolución espacial de 4 km dentro de los 100 km a la costa y los 4°S - 16°S. Se construyó una climatología tomando en cuenta información del 1998 al 2015 y se obtuvieron las anomalías promedio de la clorofila-a superficial ($\text{mg}\cdot\text{m}^{-3}$). El ICS se calculó como la media móvil trimestral de las anomalías promedio de la concentración de clorofila-a superficial ($\text{mg}\cdot\text{m}^{-3}$) mensualmente (Espinoza et al. en prep.). El ICS fue clasificado en 3 condiciones: baja, media y alta. Durante el trimestre NDE 2023-24, el ICS incrementó su valor dentro de las condiciones altas (+1.87) (Fig. 1f).

3. Pronóstico de ondas Kelvin ecuatoriales y propagación de Ondas Atrapadas a la Costa

Con el fin de pronosticar la propagación de las Ondas Kelvin Ecuatoriales (OKE) hacia el Pacífico Oriental Ecuatorial y las Ondas Rossby (OR) hacia el Pacífico Occidental Ecuatorial, se simularon las ondas Kelvin y ondas Rossby en el Pacífico Tropical, siguiendo la metodología de Illig et al. (2004), Dewitte et al. (2002) y Quispe-Ccalluari et al. (2021), usando como forzante vientos NCEP actualizados hasta el 16 de febrero 2024 (Kalnay et al. 1996). El pronóstico de las OKE hasta el 20 de abril 2024 se realizó con anomalías del esfuerzo del viento igual cero, y para el cálculo de las anomalías se usó el periodo 1991-2020. La correlación entre los valores de nivel del mar observado y pronosticado en el Pacífico Sudeste fue significativa ($r = 0.69$, $p < 0.05$) para el periodo 1993-2008 (Quispe et al. 2014). Se graficó la contribución de los modos baroclínicos 1 (flechas continuas) (Fig. 3) y modo 2 (flechas discontinuas) (Fig. 4) de las OR en 3°-5°S y OKE a las anomalías del nivel del mar (cm) en el Pacífico Ecuatorial y la contribución conjunta de los modos baroclínicos 1+2 de las OKE (Fig. 2). Los valores positivos corresponden a OKEs de hundimiento “cálidas” (flechas negras), y los valores negativos corresponden a OKEs de afloramiento “frías” (flechas blancas). Con el fin de mostrar al paso de Ondas Atrapadas a la Costa (OAC) de hundimiento “cálidas” (flechas negras) y afloramiento “frías” (flechas blancas) frente a la costa peruana asociadas a la llegada de las OKEs, se empleó las anomalías del nivel del mar satelital, filtradas frente a la costa peruana, obtenidas de la base de datos de Copernicus Marine Environment Monitoring Service (CMEMS).

“Decenio de la Igualdad de Oportunidades para mujeres y hombres”
 “Año del Bicentenario, de la consolidación de nuestra Independencia, y
 de la conmemoración de las heroicas batallas de Junín y Ayacucho”

Figura 2. Diagrama Hovmöller longitud-tiempo (izq.) de Ondas Kelvin Ecuatoriales simuladas (contribución conjunta de los modos baroclínicos 1+2 a las anomalías del nivel del mar en cm) en el Pacífico Ecuatorial (0°N). Se presentan las OKEs de hundimiento “cálidas” (flechas negras), las OKEs de afloramiento “frías” (flechas blancas), el inicio del pronóstico (línea horizontal discontinua). Diagrama Hovmöller (der.) de Ondas Atrapadas a la Costa observadas (Perú) en cm con el paso de OACs de hundimiento “cálidas” (flechas negras) y OACs de afloramiento “frías” (flechas blancas). La longitud de ambos diagramas no están a la misma escala.

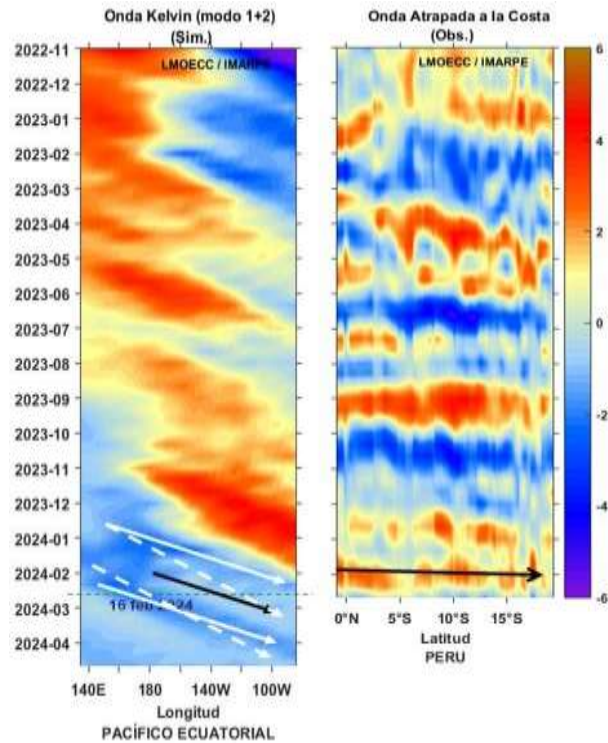
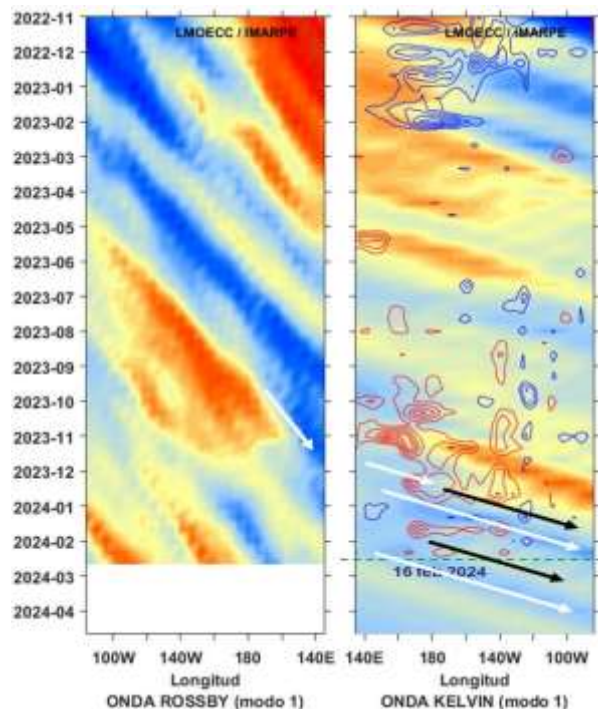


Figura 3. Diagrama Hovmöller longitud-tiempo de Ondas Rossby simuladas (3°-5°S) y de Ondas Kelvin Ecuatoriales simuladas de modo baroclínico 1 (líneas continuas) en el Pacífico Ecuatorial (0°N), anomalías positivas (contornos rojos) y negativas (contornos azules) del esfuerzo del viento zonal. La línea discontinua horizontal indica el inicio del pronóstico. Se presentan las ondas de hundimiento “cálidas” (flechas negras), y las ondas de afloramiento “frías” (flechas blancas).





PERÚ

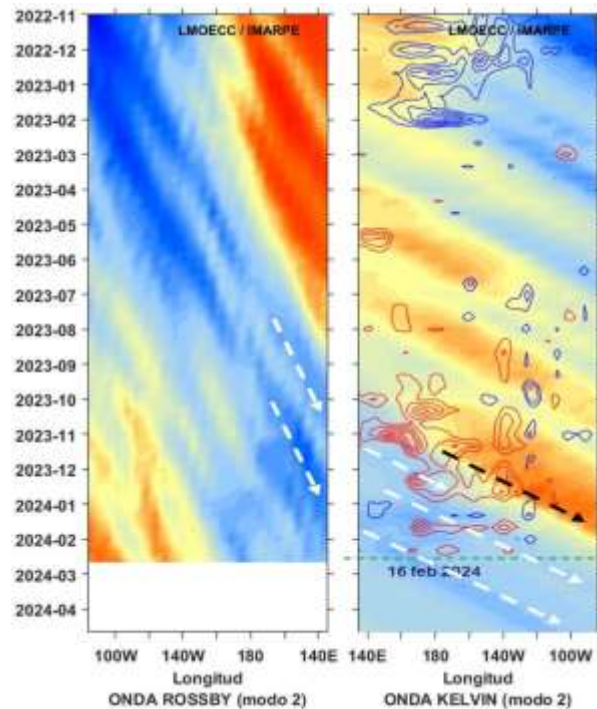
Ministerio de la Producción



IMARPE
INSTITUTO DEL MAR DEL PERÚ

“Decenio de la Igualdad de Oportunidades para mujeres y hombres”
“Año del Bicentenario, de la consolidación de nuestra Independencia, y
de la conmemoración de las heroicas batallas de Junín y Ayacucho”

Figura 4. Diagrama Hovmöller longitud-tiempo de Ondas Rossby simuladas (3°-5°S) y de Ondas Kelvin Ecuatoriales simuladas de modo baroclínico 2 (líneas punteadas), en el Pacífico Ecuatorial (0°N), anomalías positivas (contornos rojos) y negativas (contornos azules) del esfuerzo del viento zonal. La línea discontinua horizontal indica el inicio del pronóstico. Se presentan las ondas de hundimiento “cálidas” (flechas negras), y las ondas de afloramiento “frías” (flechas blancas).



Según la simulación, dos OKE cálidas (modo 1 y modo 2) arribaron a Sudamérica a fines de enero (Fig. 3 y 4), y según el análisis frente a la costa de Perú, estas OKEs cálidas se propagaron a lo largo de la costa peruana como OAC cálida entre enero y febrero 2024 (Fig. 2).

Por otro lado, una OKE fría (modo 1) que fue generada como producto de la reflexión de onda Rossby fría en el Pacífico ecuatorial occidental en diciembre 2023, llegará a Sudamérica en febrero (Fig. 3). Asimismo, otra OKE fría (modo 2) generada en el Pacífico ecuatorial occidental en diciembre, llegará a Sudamérica en marzo (modo 2) (Fig. 4). Debido a las anomalías de vientos del oeste observadas en enero en el Pacífico ecuatorial central, se generó una OKE cálida débil (modo 1) y llegará a Sudamérica en marzo 2024 (Fig. 3). Cabe señalar, que dos nuevas OKE frías (modo 1 y modo 2) se generaron en el Pacífico ecuatorial occidental, debido a la contribución conjunta de las anomalías de vientos del este y reflexión de onda Rossby fría, y llegarán a Sudamérica en abril (modo 1) (Fig. 3) y mayo (modo 2) (Fig. 4).

4. Pronóstico de efectos térmicos de ENOS sobre la costa peruana.

Con el fin de pronosticar los efectos del ENOS sobre la temperatura superficial del mar (TSM) frente a la costa peruana, representada por el índice ITCP, se utilizaron 2 modelos de simulación, basados en diferentes métodos matemáticos y estadísticos. En la Tab. 1 se comparan las características de cada modelo.



BICENTENARIO
DEL PERÚ
2021 - 2024



Esquina Gamarra y General Valle s/n, Chucuito, Callao | Central telefónica: (051) 208 8650 | www.gob.pe/imarpe

Esta es una copia auténtica imprimible de un documento electrónico archivado en el Instituto del Mar del Perú, aplicando lo dispuesto por el Art. 25 de D.S. 070-2013-PCM y la Tercera Disposición Complementaria Final del D.S. 026-2016-PCM. Su autenticidad e integridad pueden ser contrastadas a través de la siguiente dirección web: www.imarpe.gob.pe/imarpe/validacion Clave:

“Decenio de la Igualdad de Oportunidades para mujeres y hombres”
 “Año del Bicentenario, de la consolidación de nuestra Independencia, y
 de la conmemoración de las heroicas batallas de Junín y Ayacucho”

Tabla 1. Características de los modelos de pronóstico de efectos de ENOS frente a la costa peruana.

Modelo	EMPIRICO	OCEANO-ATMOSFERA	PROBABILISTICO ESPACIAL
Variable pronosticada	ITCP	ITCP	ITCP
Variables Predictoras	VAC e IAPS	Vientos NCEP	ONI
Método	Modelo empírico basado en el volumen de agua cálida ecuatorial	Modelo acoplado océano-atmósfera de complejidad intermedia	Modelo basado en tablas de contingencia
Relación funcional	Lineal	Lineal	Lineal
Horizonte de pronóstico	4 meses	4 meses	3 meses
Ventajas	Depende principalmente del comportamiento del volumen de agua cálida ecuatorial y de la intensidad del APS.	Depende de la interacción océano-atmósfera en el Pacífico Tropical.	Estima probabilidades espaciales
Desventajas	Alta variabilidad de las previsiones. Desfase funcional fijo.	Sensible a vientos del oeste.	Depende de la dinámica ecuatorial

Pronóstico del ITCP usando un modelo empírico

Se usó un modelo empírico basado en el volumen de agua cálida ecuatorial (VAC) (Matellini et al. 2007) con datos de las boyas TAO (TAO 2021) y en el Índice del Anticiclón del Pacífico Sur (IAPS) (Chamorro et al., en prep.) para realizar el pronóstico del ITCP para un horizonte de 4 meses.

La correlación entre los valores del ITCP simulados y observados fue significativa ($r = 0.6$, $p < 0.05$) para el período 1982-2011, y la mediana absoluta de los errores entre los datos simulados y observados fue de 0.41 (6.59% del rango de valores ITCP).

Los pronósticos del ITCP con el modelo empírico indican que sus valores disminuirán dentro del rango de las condiciones cálidas del ITCP en febrero 2024, en marzo alcanzaría las condiciones neutras, posteriormente disminuiría hacia las condiciones frías entre abril y mayo 2024 (Tab. 2, Fig. 5). En este horizonte, el valor del ITCP simulado sería máximo en febrero 2024 (Tab. 2).

“Decenio de la Igualdad de Oportunidades para mujeres y hombres”
 “Año del Bicentenario, de la consolidación de nuestra Independencia, y
 de la conmemoración de las heroicas batallas de Junín y Ayacucho”

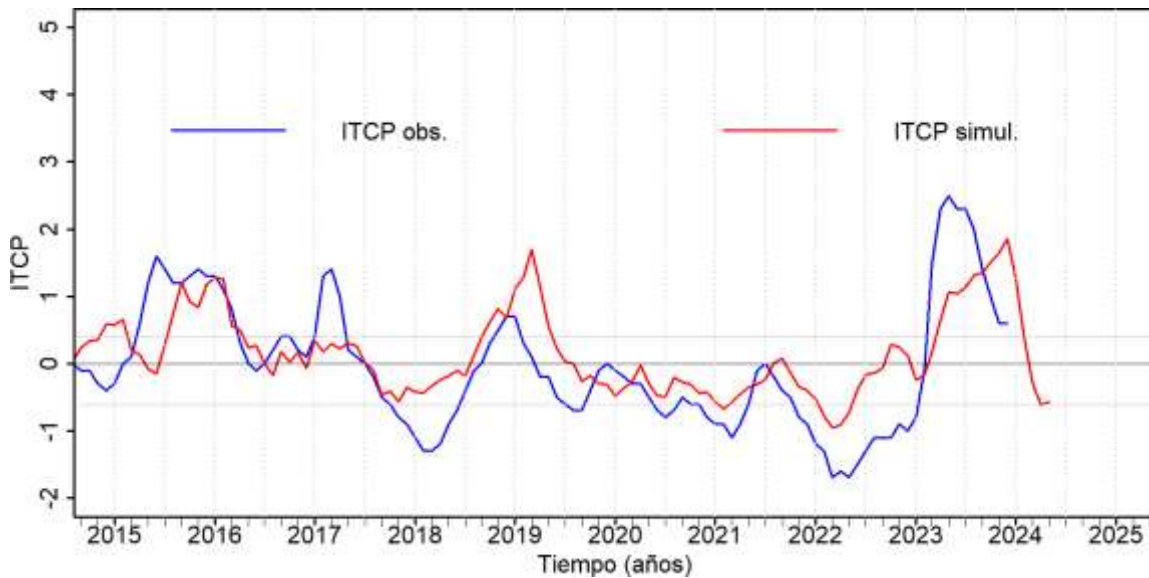


Figura 5. Pronóstico del ITCP mediante un modelo empírico, con datos actualizados hasta el mes de enero del 2024.

Tabla 2. Condición mensual de los pronósticos del ITCP mediante un modelo empírico.

Mes / Año	ITCP simulada	Condición mensual
Feb-24	+0.4	Cálida
Mar-24	-0.3	Neutra
Abr-24	-0.6	Fría
May-24	-0.6	Fría

Pronóstico del ITCP usando un modelo acoplado océano-atmósfera de complejidad intermedia.

Se usó un modelo acoplado océano-atmósfera de complejidad intermedia del Pacífico Tropical (Dewitte et al. 2002, Gushchina et al. 2000), usando un modelo atmosférico estadístico y una relación empírica entre la AN3.4 simulada y el ITCP, para realizar el pronóstico del ITCP para un horizonte de 4 meses.

Los pronósticos del ITCP, basados en la variación temporal de las condiciones del Pacífico Ecuatorial, indican que los valores del ITCP disminuirán dentro de las condiciones cálidas entre febrero y mayo 2024 (Tab. 3, Fig. 6). En este horizonte, el valor del ITCP simulado sería máximo en febrero 2024 (Tab. 3).

“Decenio de la Igualdad de Oportunidades para mujeres y hombres”
 “Año del Bicentenario, de la consolidación de nuestra Independencia, y
 de la conmemoración de las heroicas batallas de Junín y Ayacucho”

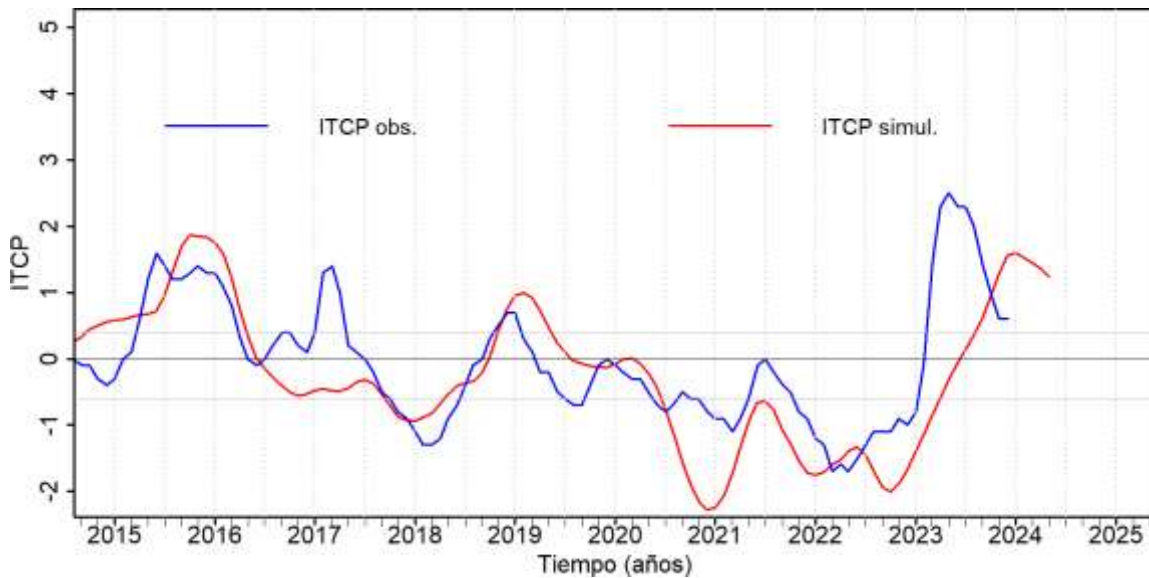


Figura 6. Pronóstico del ITCP mediante el modelo acoplado océano-atmósfera de complejidad intermedia con datos actualizados hasta el mes de enero del 2024.

Tabla 3. Condición mensual de los pronósticos del ITCP mediante el modelo océano-atmósfera acoplado.

Mes / Año	ITCP simulada	Condición mensual
Feb-24	+1.5	Cálida
Mar-24	+1.4	Cálida
Abr-24	+1.4	Cálida
May-24	+1.2	Cálida

Pronóstico probabilístico espacial basado en tablas de contingencia (TC).

Se realizó un pronóstico probabilístico espacial de las condiciones térmicas (fría, neutra, cálida) en el área de afloramiento peruano (hasta las 45 mn aproximadamente), usando un modelo basado en tablas de contingencia (Alfaro et al. 2003), usando como variable independiente el índice Niño 3.4 (NOAA 2020) y como dependiente las anomalías de temperatura superficial del mar en el área de afloramiento peruano (Reynolds et al. 2007). Las probabilidades de las condiciones mensuales se definieron usando quintiles de las anomalías de las temperaturas superficiales del mar.

El modelo probabilístico basado en tablas de contingencia (TC) y bajo la condición de la región Niño 3.4, se actualizó hasta el mes de enero 2024, e indicó que la condición neutra en el área costa norte-centro tiene una probabilidad del 65%, mientras que, en el área costa sur, la condición neutra tendrá una probabilidad del 60% en promedio para el trimestre Febrero-Marzo-Abril (FMA) 2024 (Fig. 7).



PERÚ

Ministerio de la Producción



IMARPE
INSTITUTO DEL MAR DEL PERÚ

“Decenio de la Igualdad de Oportunidades para mujeres y hombres”
“Año del Bicentenario, de la consolidación de nuestra Independencia, y de la conmemoración de las heroicas batallas de Junín y Ayacucho”

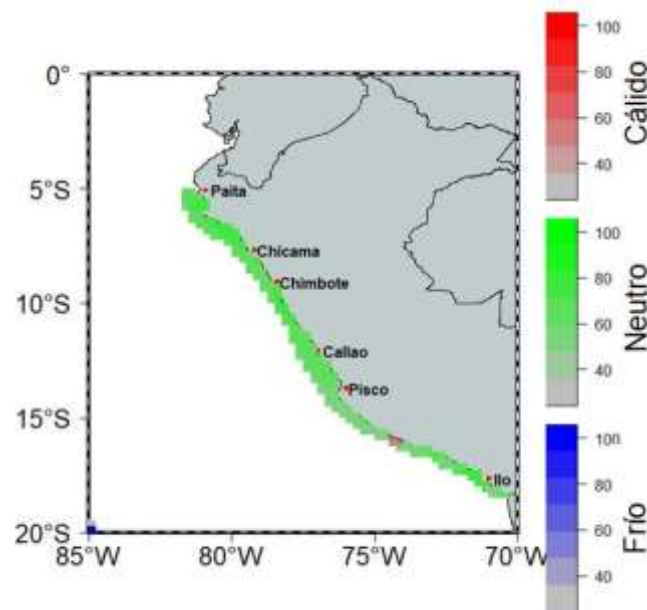


Figura 7. Pronóstico probabilístico espacial para el trimestre FMA 2024 usando un modelo basado en tablas de contingencia.

5. Conclusiones

Respecto a los indicadores oceanográficos y atmosféricos del Pacífico Sudeste calculados con datos hasta enero 2024, se observó que en promedio durante el trimestre NDE 2024, el Índice del Anticiclón del Pacífico Sur (IAPS) se mantuvo en una condición intensa y alrededor de su posición habitual, el Índice Térmico Costero Peruano (ITCP) mantuvo una condición cálida, el Índice del Área de Afloramiento (IAA) se mantuvo en una condición media, y el Índice de Clorofila Superficial (ICS), se mantuvo en una condición alta.

El análisis frente a las costas del Perú hasta enero 2024, identificó la propagación de OAC cálida, debido a las llegadas conjuntas de dos señales de OKE cálidas (modo 1 y modo 2). Por otro lado, en perspectivas, según la simulación de la propagación de las OKE, se espera la llegada a Sudamérica de una OKE fría (modo 1) en febrero; dos OKEs: una OKE fría (modo 2) y otra OKE cálida (modo 1) en marzo; otra OKE fría (modo 1) en abril y otra OKE fría (modo 2) en mayo.

El pronóstico del Índice Térmico Costero Peruano (ITCP) usando el modelo empírico, basado en el volumen de agua cálida ecuatorial y el anticiclón del Pacífico Sur pronostica que los valores del ITCP presentarán una tendencia a disminuir desde las condiciones cálidas en febrero, condiciones neutras en marzo, y posteriormente alcanzar condiciones frías entre abril y mayo 2024. Mientras que, por otro lado, el modelo acoplado océano-atmosfera de complejidad intermedia, basado en forzantes del Pacífico Ecuatorial, también pronostica una tendencia a disminuir dentro de las condiciones cálidas del ITCP entre febrero y mayo 2024.



BICENTENARIO
DEL PERÚ
2021 - 2024



Esquina Gamarra y General Valle s/n, Chucuito, Callao | Central telefónica: (051) 208 8650 | www.gob.pe/imarpe

Esta es una copia auténtica imprimible de un documento electrónico archivado en el Instituto del Mar del Perú, aplicando lo dispuesto por el Art. 25 de D.S. 070-2013-PCM y la Tercera Disposición Complementaria Final del D.S. 026-2016-PCM. Su autenticidad e integridad pueden ser contrastadas a través de la siguiente dirección web: www.imarpe.gob.pe/imarpe/validacion Clave:



PERÚ

Ministerio
de la Producción



IMARPE
INSTITUTO DEL MAR DEL PERÚ

“Decenio de la Igualdad de Oportunidades para mujeres y hombres”
“Año del Bicentenario, de la consolidación de nuestra Independencia, y
de la conmemoración de las heroicas batallas de Junín y Ayacucho”

El presente informe se elabora con fines de investigación, por lo que es de carácter referencial, sin garantías sobre su uso posterior. El Comunicado Oficial de la Comisión multisectorial encargada del Estudio Nacional del Fenómeno El Niño (ENFEN) puede encontrarse en el siguiente enlace: <https://shorturl.at/qmNO>

6. Referencias bibliográficas

- Chen, D., Cane, M. A., Kaplan, A., Zebiak, S. E. & Huang, D. (2004). Predictability of El Niño over the past 148 years. *Nature*, 428: 733–736.
- Demarcq, H. and A. Benazzouz (2015), Trends in phytoplankton and primary productivity off Northwest Africa. In: Oceanographic and biological features in the Canary Current Large Marine Ecosystem. Valdés, L. and Déniz-González, I. (eds). *IOC-UNESCO, Paris. IOC Technical Series*, No. 115, pp. 331-341.
- Dewitte B., D. Gushchina, Y. duPenhoat and S. Lakeev, 2002: On the importance of subsurface variability for ENSO simulation and prediction with intermediate coupled models of the Tropical Pacific: A case study for the 1997-1998 El Niño. *Geoph. Res. Lett.*, vol. 29, no. 14, 1666, 10.1029/2001GL014452.
- Gushchina D. Yu, B. Dewitte and M. A. Petrossiants, 2000: A coupled ocean-atmosphere model of tropical Pacific: The forecast of the 1997-1998 El Niño Southern Oscillation. *Izvestiya atmospheric and oceanic physics*. 36(5): 533-554.
- Illig, S., B. Dewitte, N. Ayoub, Y. du Penhoat, G. Reverdin, P. De Mey, F. Bonjean and G.S.E. Lagerloef. 2004. Interannual long equatorial waves in the Tropical Atlantic from a high resolution OGCM experiment in 1981–2000, *J. Geophys. Res.* 109 (C2): C02022.
- Kalnay et al. 1996. The NCEP/NCAR 40-year reanalysis project, *Bull. Amer. Meteor. Soc.*, 77, 437-470.
- NOAA. 2003. NOAA gets U.S. consensus for El Niño/La Niña index, definitions. On-line: <http://www.noaanews.noaa.gov/stories/s2095.htm>.
- NOAA. 2023. CPC: Oceanic EL Niño Index. (10 Noviembre). On-line http://www.cpc.ncep.noaa.gov/products/analysis_monitoring/ensostuff/ensoyears.shtml
- Quispe-Ccalluari C, Tam J, Arellano C, Chamorro A, Espinoza-Morriberón D, Romero C, Ramos J. 2017. Desarrollo y aplicación de índices y simulaciones para la vigilancia y el pronóstico a mediano plazo del impacto del ENOS frente a la costa peruana. *Inf Inst Mar Peru*. 44:28-34.
- Quispe-Ccalluari, C., J. Tam, H. Demarcq, A. Chamorro, D. Espinoza-Morriberón, C. Romero, N. Dominguez, J. Ramos y R. Oliveros-Ramos. 2018. An index of coastal thermal effects of El Niño Southern Oscillation on the Peruvian Upwelling Ecosystem. *Int. J. Climatol.*:1-11. <https://doi.org/10.1002/joc.5493>.
- Quispe-Ccalluari, C., A. Chamorro, C. Arellano, y J. Tam. 2021. Propagación de ondas de Kelvin ecuatoriales y ondas atrapadas a la costa durante El Niño 2015-16 y El Niño costero 2017 frente a Perú: Simulaciones y Observaciones. *Boletín Instituto del Mar del Perú*, 36(2), 349–361. <https://doi.org/10.53554/boletin.v36i2.342>
- Reynolds, R. W., T. M. Smith, C. Liu, D. B. Chelton, K. S. Casey, and M. G. Schlax, 2007: Daily high-resolution blended analyses for sea surface temperature. *J. Climate*, 20, 5473-5496.
- Romero C, Chamorro A, Espinoza-Morriberon D, Tam J. 2014. Variación estacional e interanual de Indicadores de afloramiento frente a la costa central del Perú. p.191. *En: UPCH (Ed.). Libro de resúmenes del IV Congreso de Ciencias del Mar (IV CONCIMAR)*. 366 p.
- TAO (Tropical Atmosphere Ocean Project). 2018. Data Display. NOAA. Pacific Marine Environmental Laboratory. En línea: www.pmel.noaa.gov/tao/jsdisplay.
- Webster, P. J. & Yang, S, (1992). Monsoon and ENSO: Selectively Interactive Systems. *Quart. J. Roy. Meteor. Soc.*, 118(507): 877-926.



BICENTENARIO
DEL PERÚ
2021 - 2024



Esquina Gamarra y General Valle s/n, Chucuito, Callao | Central telefónica: (051) 208 8650 | www.gob.pe/imarpe

Esta es una copia auténtica imprimible de un documento electrónico archivado en el Instituto del Mar del Perú, aplicando lo dispuesto por el Art. 25 de D.S. 070-2013-PCM y la Tercera Disposición Complementaria Final del D.S. 026-2016-PCM. Su autenticidad e integridad pueden ser contrastadas a través de la siguiente dirección web: www.imarpe.gob.pe/imarpe/validacion Clave: